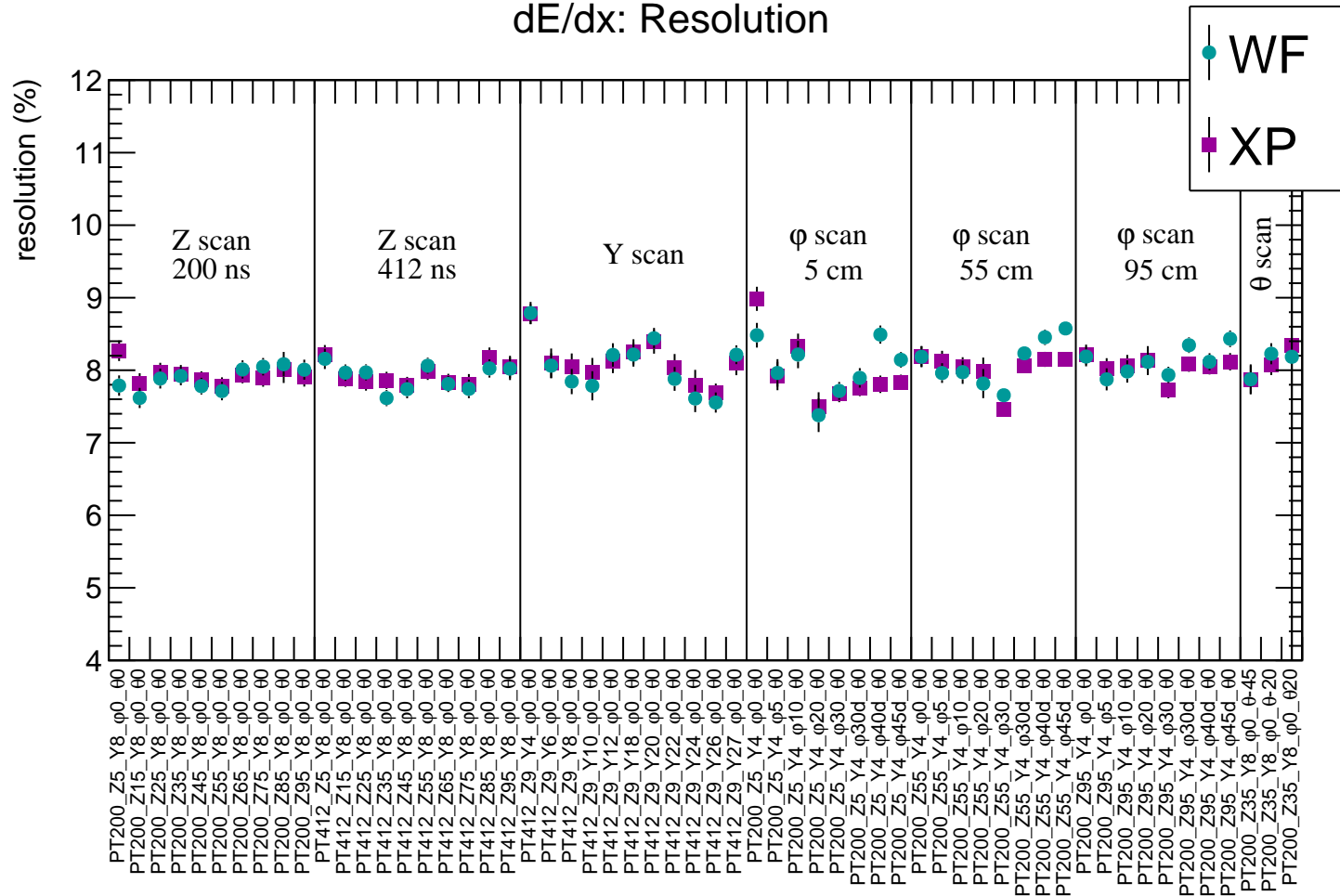
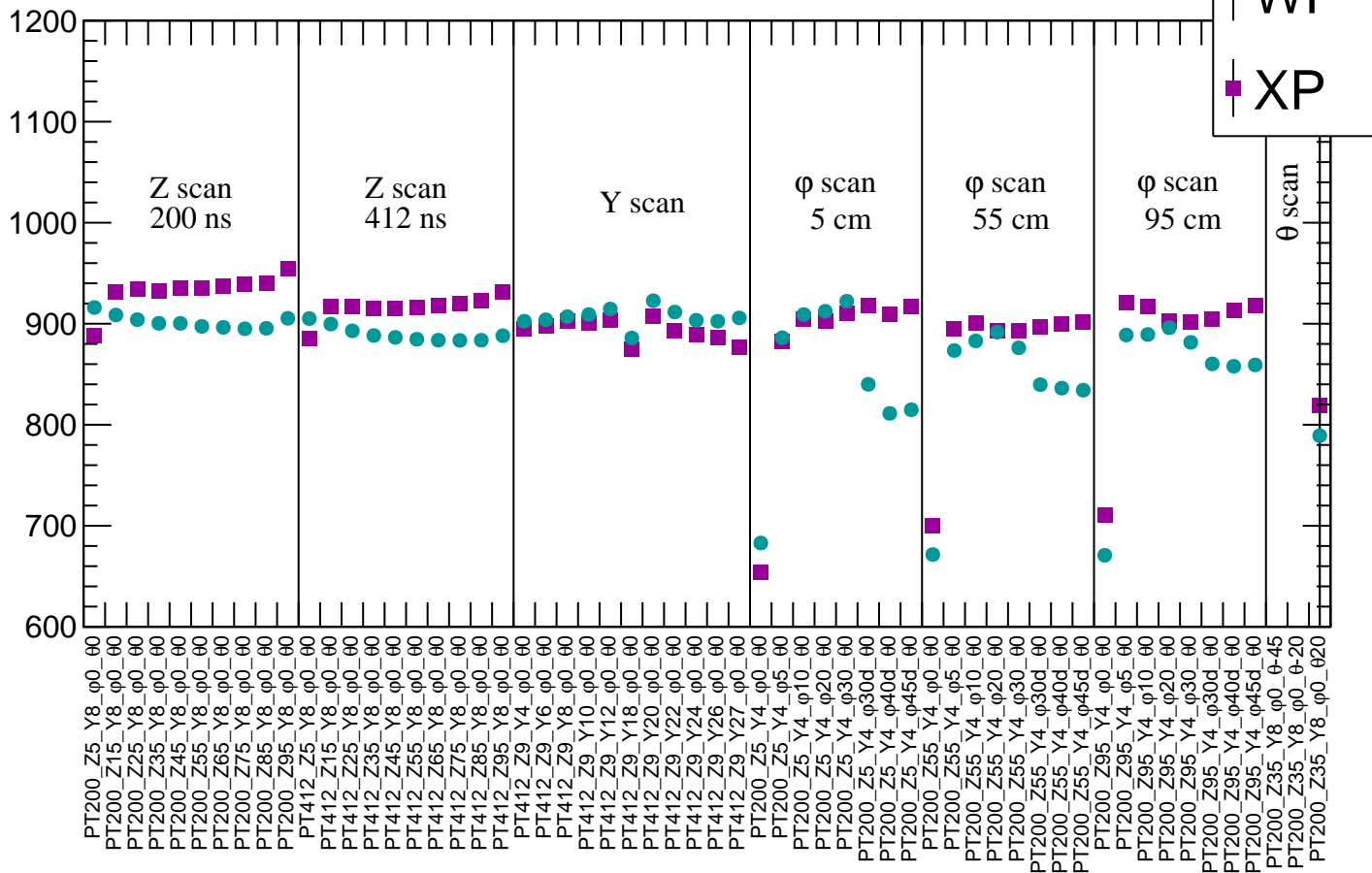


dE/dx: Resolution



dE/dx: Mean

Mean (ADC count)



dE/dx: Standard deviation

std (ADC count)

100
90
80
70
60
50



Z scan
200 ns

Z scan
412 ns

Y scan

ϕ scan
5 cm

ϕ scan
55 cm

ϕ scan
95 cm

θ scan

PT200_Z5_Y8_φ0_θ0
PT200_Z15_Y8_φ0_θ0
PT200_Z25_Y8_φ0_θ0
PT200_Z35_Y8_φ0_θ0
PT200_Z45_Y8_φ0_θ0
PT200_Z55_Y8_φ0_θ0
PT200_Z65_Y8_φ0_θ0
PT200_Z75_Y8_φ0_θ0
PT200_Z85_Y8_φ0_θ0
PT200_Z95_Y8_φ0_θ0
PT412_Z5_Y8_φ0_θ0
PT412_Z15_Y8_φ0_θ0
PT412_Z25_Y8_φ0_θ0
PT412_Z35_Y8_φ0_θ0
PT412_Z45_Y8_φ0_θ0
PT412_Z55_Y8_φ0_θ0
PT412_Z65_Y8_φ0_θ0
PT412_Z75_Y8_φ0_θ0
PT412_Z85_Y8_φ0_θ0
PT412_Z95_Y8_φ0_θ0
PT412_Z9_Y4_φ0_θ0
PT412_Z9_Y6_φ0_θ0
PT412_Z9_Y8_φ0_θ0
PT412_Z9_Y10_φ0_θ0
PT412_Z9_Y12_φ0_θ0
PT412_Z9_Y18_φ0_θ0
PT412_Z9_Y20_φ0_θ0
PT412_Z9_Y22_φ0_θ0
PT412_Z9_Y24_φ0_θ0
PT412_Z9_Y26_φ0_θ0
PT412_Z9_Y27_φ0_θ0
PT200_Z5_Y4_φ0_θ0
PT200_Z5_Y4_φ10_θ0
PT200_Z5_Y4_φ20_θ0
PT200_Z5_Y4_φ30_θ0
PT200_Z5_Y4_φ30d_θ0
PT200_Z5_Y4_φ40d_θ0
PT200_Z5_Y4_φ45d_θ0
PT200_Z55_Y4_φ0_θ0
PT200_Z55_Y4_φ10_θ0
PT200_Z55_Y4_φ20_θ0
PT200_Z55_Y4_φ30_θ0
PT200_Z55_Y4_φ30d_θ0
PT200_Z55_Y4_φ40d_θ0
PT200_Z55_Y4_φ45d_θ0
PT200_Z95_Y4_φ0_θ0
PT200_Z95_Y4_φ10_θ0
PT200_Z95_Y4_φ20_θ0
PT200_Z95_Y4_φ30_θ0
PT200_Z95_Y4_φ30d_θ0
PT200_Z95_Y4_φ40d_θ0
PT200_Z95_Y4_φ45d_θ0
PT200_Z35_Y8_φ0_θ-45
PT200_Z35_Y8_φ0_θ-20
PT200_Z35_Y8_φ0_θ20